

京都大学工学部 正会員 太田秀樹  
 福井大学工学部 正会員 荒井克彦  
 京都大学工学部 正会員 深川良一  
 京都大学大学院 学生員 ○杉村 均

### 1. 概要

粘性土を主体とした地盤について層別沈下や地中の水平変位が既知である試験盛工地盤を4箇所選定し、弾性論に基づく逆解析を行った。得られた弾性定数を一軸・三軸圧縮試験やアレッシャーX-タ試験から得られた弾性定数と比較し、考察を加えた。

### 2. 逆解析による弾性定数の決定

ここで用いた逆解析の手法は Arai, Ohta, and Yasui(1983)によつて開発されたものである。FEMを利用して逆解析のための地盤のモデル化は実際に変位が生じている深度までを対象として、変位測定点が節点となるように、かつなるべく各要素が同一の地層で構成されるように有限要素メッシュを定めた。

逆解析の対象とした4断面の盛土形状および地盤の地層構成を図1、表1に示している。<sup>2)~5)</sup>

地盤は等方弾性体とし平面ひずみ条件を仮定している。盛土盛立て中土要素は弾性変形していると仮定し、計算の基準となる実測変位は盛工完成時の値を採用した。

弾性係数の初期値は各層同一にすると極端に軟かい(硬い)層などがある場合、解の改善度が良くないので各層の圧縮量に基づいて比例配分によりて初期値を設定した。

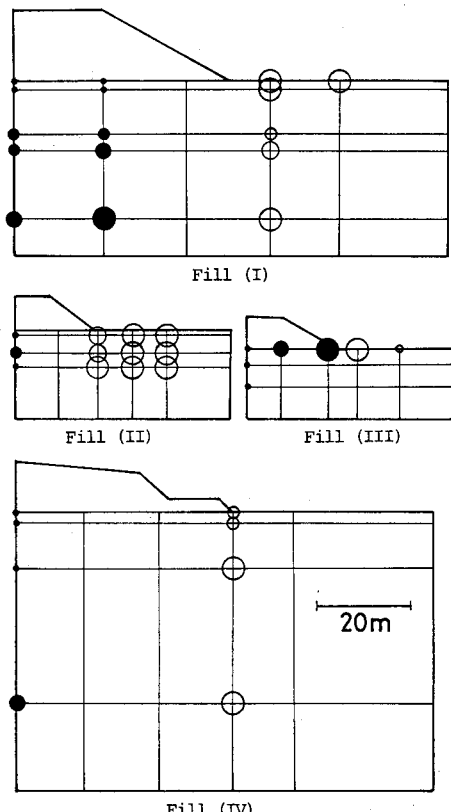
解析は以下の3通りで行つた。

- (A) 弾性係数E, ポアソン比を求めるべき変数として計算
- (B) Eを変数とし、 $\nu = 0.3$ を固定して計算
- (C) Eを変数とし、 $\nu = 0.3$ を固定、かつ鉛直変位のデータのみ考慮する。

以上の3方法を用いた逆解析の結果、方法(A)が最も実測変位と計算変位との整合性が良い、た。方法(B)と(C)では鉛直変位の収束性はほぼ同じであるが、たが、水平変位に関しては方法(B)の方が良好な結果を示した。そこで各層の $\nu$ を適切に決めるために必要な地中の水平変位測定点のある断面I, II, IVでは方法(A)によつて、ここでない断面IIIでは方法(B)によつて弾性定数Eを確定した。

### 3. 計算変位と実測変位の比較

図1中の円は変位測定点ごとの実測変位と計算変位との誤差(百分率)をこの大文字で示したものである。黒丸は鉛直変位、白丸は水平変位の誤差を表している。まず鉛直変位に注目すると盛土肩附近および地盤の深い



deviation of calculated disp.  
from measured disp. (%)

vertical disp. ● ● ● ● ● ●  
horizontal disp. ○ ○ ○ ○ ○ ○

図1. 逆解析の対象とした4断面および変位測定点における実測変位と計算変位との誤差

部分で誤差が比較的大きく出ているものの、今回対象とした4断面を通じてほとんどの節点で誤差は10%未満である。た。鉛直変位に関しては計算変位は更剛変位と良好な整合性を示すとみる。

また水平変位に関しては実測変位と計算変位が部分的に一致している箇所もあるが大幅に違う箇所もある。このことは地盤の変形挙動が弹性論だけでは説明し難いことや、メッシュ数が少なくて5×5と少少のことなどにもよるものと思われる。

#### 4. 種々の方法で得られた弾性定数の比較

4断面の各層について種々の方法によつて得られた変形係数を表1に示している。表1に基づき、各々の試験より得られた弾性定数  $E_{meas}$ 、逆解析から得られた弾性定数  $E_{cal}$  に対してプロットしてある(図2)。フレッシャーメータ試験からの弾性定数は深川ら(1983)<sup>6)</sup>により決定した。図2より正規圧密粘土と過圧密粘土では  $E_{cal}$  と  $E_{meas}$  の相関の傾向が異なることがわかる。すなわち、一軸・三軸試験による弾性定数は正規圧密粘土では  $E_{cal}$  と少しあくままであるが、過圧密粘土では  $E_{cal}$  に等しいか、あるいは大きな傾向を示した。

これで一方、原位置における試験であり、人为的な搅乱や応力解放等の影響を受けないと考えられたフレッシャーメータ試験から求めた弾性定数が正規圧密状態であれば、過圧密状態であれば、鉛直方向載荷に対する弾性定数  $E_{cal}$  とほぼ等しい値を示したことは興味深い。

吉中(1968)<sup>7)</sup>は一軸・三軸試験より得られた弾性定数をフレッシャーメータ試験より得られた弾性定数とほぼ等しいとしているが、今回のデータは必ずしもこれを支持するものではない。

図2中に過圧密粘土に対するプロットは過圧密比を付記しているが  $E_{meas}$  と  $E_{cal}$  との相関は今回の結果からは認められなかつた。

表1. 4断面各層の深度・土性および種々の方法によつて得られた変形係数

Fill	Layer	Depth(m)	Inverse Analysis			Unloaded Test ( $V=0.5$ )			Pressure-meter test
			A	B	C	A	B	C	
I	1 clay	0.0-1.4	21.7	17.3	21.5	0.28	0.3	0.3	-
	2 sand	1.4-7.0	74.1	92.9	70.1	0.27	0.3	0.3	9.1
	3 clay with silt	7.0-10.0	24.4	19.9	22.2	0.24	0.3	0.3	17.7
	4 clay	10.0-20.0	107.4	89.3	91.3	0.13	0.3	0.3	29.4
	5 clay with silt + sand	20.0-25.0	140.2	167.0	146.9	0.28	0.3	0.3	38.9
II	1 silt	0.0-2.6	8.4	10.3	10.8	0.37	0.3	0.3	31.3
	2 silt	2.6-5.9	11.7	10.9	11.3	0.30	0.3	0.3	26.5
	3 sand + silt	5.9-12.0	169.5	232.1	154.9	0.00	0.3	0.3	14.2
III	1 organic clay with gravel	0.0-2.3	-	5.0	5.2	-	0.3	0.3	6.5
	2 organic soil	2.3-5.6	-	4.1	3.9	-	0.3	0.3	4.8
	3 clay with gravel	5.6-10.0	-	23.0	34.4	-	0.3	0.3	24.2
IV	1 peat	0.0-1.5	2.4	4.3	3.7	0.40	0.3	0.3	1.1
	2 clay	1.5-8.4	7.4	11.9	15.1	0.44	0.3	0.3	14.3
	3 clay + sand	8.4-27.7	43.8	50.3	54.4	0.43	0.3	0.3	18.8
	4 sand	27.7-40.0	41.8	72.1	41.0	0.03	0.3	0.3	-

Method A ;  $E, V$ -free, Method B ;  $E$ -free,  $V$ -fixed, Method C ;  $E$ -free,  $V$ -fixed, use only vertical displacement

